# Utilização do compósito estanho/nióbia para remoção de quinolina e azul de metileno.

Fabiane de O. Cantão <sup>1\*</sup> (PG), Aline R. Passos <sup>1</sup> (IC), Walclée de C. Melo <sup>1</sup> (PQ), Luiz Carlos A. de Oliveira <sup>1</sup> (PQ). \* fabiane\_cantao@yahoo.com.br

<sup>1</sup>Departamento de Química; Universidade Federal de Lavras, Caixa Postal 37, CEP: 37200-000 – Lavras, Minas Gerais, Brasil.

Palavras Chave: Estanho, nióbia, quinolina, azul de metileno.

### Introdução

O desenvolvimento industrial contribui muito para a poluição, ocasionando tanto a poluição aquática como a atmosférica. Compostos nitrogenados constituem uma ameaça ao meio ambiente, pois contribuem para a formação da chuva ácida e do "smog" fotoquímico¹. O crescimento da indústria têxtil promove a contaminação da água por moléculas orgânicas. O trabalho teve como objetivo o preparo do compósito Sn/Nb $_2$ O $_5$  para a remoção de quinolina (molécula orgânica modelo) e azul de metileno (corante têxtil). O material foi caracterizado por: RTP, MEV e espectroscopia na região do infravermelho. A adsorção dos materiais foi monitorada por espectroscopia UV-vis.

## Resultados e Discussão

1 e 10% de Sn em massa foram incorporados a 2g de nióbia. O material foi calcinado em ar por 3h a 500°C. Utilizou-se a técnica de RTP com tratamento em  $N_2/H_2$  para obtenção de Sn°. Para os testes de adsorção de quinolina (QN) e azul de metileno (AM) foram utilizados 10 mg do compósito  $Sn/Nb_2O_5$  (1 e 10%) e 10 mL de quinolina e azul de metileno nas concentrações: 10, 50 e 250 ppm. A adsorção foi monitorada por espectroscopia UV-vis.

# Caracterização dos materiais

#### • RTP:

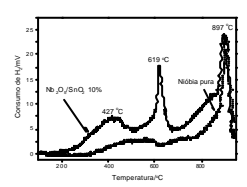
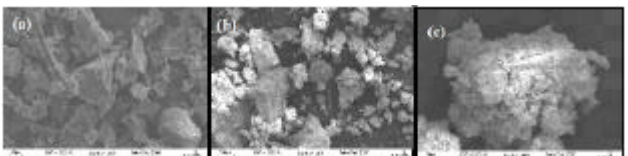


Figura 1. Perfis RTP do compósito estanho/nióbia e da nióbia.

#### • MEV:

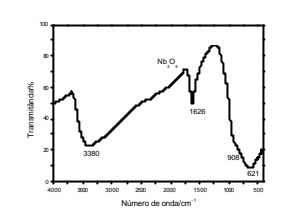


**Figura 2.** Micrografia de  $Nb_2O_5$  (a), (b) e (c) do compósito  $Sn/Nb_2O_5$  (1 e 10%) respectivamente.

De acordo com a micrografia percebe-se uma mudança na morfologia do material.

31ª Reunião Anual da Sociedade Brasileira de Química

# •IV:



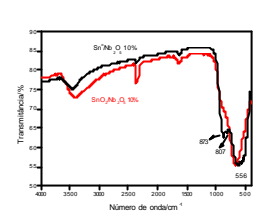
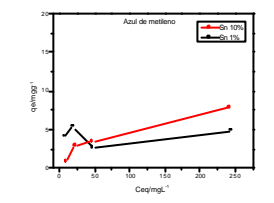
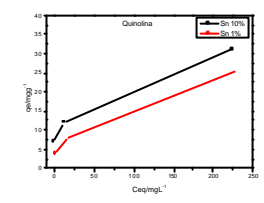


Figura 3. Infravermelho da Nb<sub>2</sub>O<sub>5</sub>e do Sn<sup>0</sup>/ Nb<sub>2</sub>O<sub>5</sub>.

O espectro evidencia picos da  $Nb_2O_5$  amorfa<sup>2</sup> em 621 e 908 cm<sup>-1</sup>. A formação de  $Sn^0$  na superfície da  $Nb_2O_5$  torna-se evidente pelo aparecimento dos picos 807 e 873 cm<sup>-1</sup>.

## • Adsorção de QN e AM:





**Figura 4.** Isotermas de adsorção de AM e QN em  $Sn/Nb_2O_5$ .

Os dados apresentados para adsorção de QN e AM mostraram que o compósito contendo maior quantidade de Sn foi mais eficiente na remoção de ambos materiais. O máximo de adsorção para a QN foi 30 mg/g e para o AM foi apenas 6 mg/g de material. O compósito contendo 1% de Sn apresentou máximo de adsorção 20mg/g para a QN e 2,5 mg/g para o AM.

## Conclusões

O material contendo 10% em massa na superfície da nióbia apresentou melhor capacidade de adsorção quando comparado com 1% em massa, possivelmente devido ao maior recobrimento da superfície da  $Nb_2O_5$  pelo  $Sn^o$ . A QN foi mais adsorvida provavelmente devido a menor estrutura desta molécula.

## Agradecimentos

CNPq, CAPES, CAPQ e DQI (UFLA).

<sup>&</sup>lt;sup>1</sup> Borrego, C.; Miranda, A. I.; Coutinho, M.; Ferreira, J. e Carvalho, A. C.; *Environ. Pollut.* **2002**, 12, 115.

Sociedade Brasileira de Química (SBQ) <sup>2</sup> A. Pawlicka.; M. Atik e A. Aegerter. *Thin Solid Films*, **1997**, 301,